

文章编号: 1000-8152(2009)06-0687-07

改进权重自适应GA及冷连轧轧制规程多目标优化

李 勇¹, 刘建昌¹, 王 昱²

(1. 东北大学 流程工业综合自动化教育部重点实验室, 辽宁 沈阳 110004;
2. 沈阳航空工业学院 自动化学院, 辽宁 沈阳 110136)

摘要: 针对聚合多目标优化方法的权重难以确定的问题, 提出了一种改进的权重自适应方法, 并以遗传算法为基础对冷连轧轧制规程进行多目标优化。首先, 结合某冷轧厂实际的轧制规程优化过程, 选取等功率裕量、轧制能耗及带钢打滑概率作为优化目标, 建立了冷连轧轧制规程的多目标优化模型。然后将改进的权重自适应遗传算法(GA)应用于不同规格的带钢轧制规程多目标优化中, 结果表明, 与实际应用的轧制规程相比, 该方法有效的降低了3个目标函数的值; 与权重自适应GA相比, 改进的权重自适应GA的针对性更强, 同时重要性高的目标收敛速度更快。

关键词: 改进权重自适应方法; 遗传算法; 冷连轧; 轧制规程; 多目标优化

中图分类号: TP18 文献标识码: A

An improved adaptive weight approach GA for optimizing multi-objective rolling schedules in a tandem cold rolling

LI Yong¹, LIU Jian-chang¹, WANG Yu²

(1. Key Laboratory of Integrated Automation of Process Industry, Ministry of Education, Northeastern University, Shenyang Liaoning 110004, China;
2. Department of Automatic Control Shenyang Institute of Aeronautical Engineering, Shenyang Liaoning 110136, China)

Abstract: To select correct weighting factors for the weight-sum multi-objective method, we propose an improved adaptive weight-selection approach. On the basis of the genetic algorithm(GA), this approach is applied to optimize the multi-objective rolling schedules in a tandem cold rolling. In the optimization process of rolling schedules, the power distribution, the rolling energy consumption and the slip rate are selected as objective functions from them the multi-objective model of rolling schedules is established. Applying the improved adaptive weight approach GA to optimize rolling schedules for strips with different specifications, we reduce the values of the above three objective functions simultaneously, in comparison with the conventional rolling schedules. It also provides better pertinence and faster convergence for objects of higher priority than those of the adaptive weight approach GA.

Key words: improved adaptive weight approach; genetic algorithm; tandem cold rolling; rolling schedules; multi-objective optimization

1 引言(Introduction)

冷连轧轧制规程的制定, 就是根据来料条件和设备条件来设定各道次轧机的出口厚度, 并由此计算出各道次轧机辊缝和轧辊速度。合理的轧制规程可以带来极大的经济效益。

某冷轧厂的酸轧线采用5机架6辊UCM轧机, 此种机型能够在大压下量的情况下实现稳定轧制并且保证良好的带钢板形和边缘降。轧机配有液压压下系统以及带钢板形控制功能。该生产线轧制规程的设定以等功率裕量为目标, 采用“计算-判断-修

正”的方法, 属于单目标的轧制规程优化。与其他单目标的轧制规程优化设计方法^[1~5]一样, 此类方法虽然有明确的目标, 但考虑的角度单一, 使单目标的优化结果不尽合理。而轧制过程是复杂的, 需要考虑的目标也具有多样性, 以固定的加权系数聚合的多目标优化设计^[6~8], 其权系数又很难确定, 人为的因素太多, 结果不能令人满意。

本文提出一种改进的权重自适应方法, 并以遗传算法为基础对冷连轧轧制规程进行了多目标优化。结合某冷轧厂实际的轧制规程优化过程, 选取等功

率裕量、轧制能耗及带钢打滑概率作为优化目标,建立了冷连轧轧制规程的多目标优化模型,并应用改进的权重自适应GA对不同规格的带钢进行了轧制规程多目标优化。

2 轧制规程多目标优化模型的建立(Establishing the multi-objective optimization model of rolling schedules)

2.1 目标函数(Objective functions)

结合某冷轧厂实际的轧制规程设计过程,选取等功率裕量、轧制能耗及带钢打滑概率作为优化的目标函数。

前文所述冷连轧生产线用*i*机架的电机功率平衡系数 Bal_i 判定功率裕量是否平衡,当 Bal_i 的值全为1时,功率裕量完全平衡,当 $1-a < Bal_i < 1+a$,则满足功率裕量平衡条件, a 为允许偏移量。 Bal_i 按实际生产线的过程自动化程序中的公式计算:

$$\left\{ \begin{array}{ll} Bal_1 = P_1/P_2/A_1, & i = 1, \\ Bal_i = & \\ \frac{H_{P_i}/H_{P_{\max_i}}/A_i}{(\sum_{i=2}^L H_{P_i}/H_{P_{\max_i}}/A_i)/(L-1)}, & 1 < i < L-1, \end{array} \right. \quad (1)$$

$$\begin{aligned} P_i &= b \cdot k_{p_i} \cdot \kappa_i \cdot Dp_i \cdot \sqrt{R'_i \cdot (H_i - h_i)}, \\ Dp_i &= \\ &1.08 + 1.79 \cdot r_i \cdot \sqrt{1 - r_i} \cdot \mu_i \cdot \sqrt{\frac{R'_i}{h_i}} - 1.02 \cdot r_i, \\ r_i &= (H_i - h_i)/H_i, \\ \kappa_i &= (1 - \frac{tb_i}{kp_i}) \cdot (1.05 + 0.1 \cdot \frac{1 - \frac{tf_i}{kp_i}}{1 - \frac{tb_i}{kp_i}} - \\ &0.15 \cdot \frac{1 - \frac{tb_i}{kp_i}}{1 - \frac{tf_i}{kp_i}}), \\ H_{P_i} &= 0.2192 \times 10^{-3} \cdot (v_i/R_i) \cdot (G_{r_i} + G_{l_i})/1.34. \end{aligned}$$

其中: P_i 为*i*架轧制力(kg); H_{P_i} 为*i*架电机功率的计算值(kW); $H_{P_{\max_i}}$ 为*i*架电机额定功率(kW); L 为机架数; A_i 为*i*架等功率裕量比例系数; b 为带钢宽度(mm); k_{p_i} 为*i*架平均变形抗力(kg/mm^2); D_{p_i} 为*i*架摩擦力因子; κ_i 为*i*架张应力因子; R'_i 为*i*架工作辊压扁半径(mm); r_i 为*i*架压下率; H_i 为*i*架入口厚度(mm); h_i 为*i*架出口厚度(mm); μ_i 为*i*架摩擦系数; t_{b_i} 为*i*架后单位张力(kg/mm^2); t_{f_i} 为*i*架前单位张力(kg/mm^2); G_{r_i} 为*i*架轧制力矩($\text{kg}\cdot\text{mm}$); R_i 为*i*架工作辊半径(mm); v_i 为*i*架轧制速度(m/min); G_{l_i} 为*i*架

损失力矩($\text{kg}\cdot\text{mm}$)。为了避免带钢表面留下轧辊痕迹,1架的功率裕量平衡用1,2架的轧制力平衡来实现;为了保证板形,末机架只允许很小的压下量,所以不考虑末机架的功率裕量。基于功率裕量建立目标函数1:

$$f_1 = \alpha \sum_{i=1}^{L-1} \ln[1 + \beta \times (Bal_i - 1)^2]. \quad (2)$$

其中 α, β 为常数。 f_1 的值反映了各机架的功率裕量是否按预先设定的比率达到了平衡,其值越小则 Bal_i 的值越接近1,达到的功率裕量平衡的程度越好。为了使轧制能耗尽量小,建立目标函数2:

$$f_2 = \sum_{i=1}^L H_{P_i}, \quad (3)$$

其值越小,总的轧制能耗越小。

对于薄窄料(出口厚度小于0.8 mm,宽度小于1200 mm),在轧制过程中容易产生打滑现象^[9]。为预防打滑,使得各机架打滑因子最小,并且不出现任一机架打滑因子偏大的现象,建立目标函数3:

$$\begin{aligned} f_3 &= \lambda \times \sqrt{\sum_{i=1}^L (\psi_i - \frac{1}{L} \sum_{i=1}^L \psi_i)^2} + \\ &(1 - \lambda) \times \frac{1}{L} \sum_{i=1}^L \psi_i, \end{aligned} \quad (4)$$

$$\psi_i = \frac{1}{4\mu_i} \left| \sqrt{\frac{(H_i - h_i)}{R'_i}} + \frac{T_{b_i} - T_{f_i}}{P_i} \right|.$$

其中: ψ_i 为*i*架打滑因子, λ 为常数, T_{b_i} 为*i*架总的后张力(kg), T_{f_i} 为*i*架总的前张力(kg)。 f_3 的值越小,打滑出现的概率越小。

2.2 约束条件(Constraint conditions)

根据轧机的机械型号、电气状态条件、实际操作中应满足的条件,确定如下约束条件:

1) 压下率 $r_i \in [0.1, 0.45]$, $i = 1 \sim 4, r_5 \in [0.005, 0.03]$. 其中: $r_1 \sim r_4$ 为相对压下率, r_5 为绝对压下率。

2) 轧制力、轧制力矩、轧制功率小于各机架所允许的最大值。

3) 轧制速度在满足生产要求的末机架最小速度与轧机机械系统允许的最大速度之间。

4) 打滑因子 $\psi_i < 0.5$ ^[9].

5) 等功率裕量的比例系数 $A_i \in [0.5, 1.5]$.

2.3 轧制规程的多目标优化模型(Multi-objective optimization model of rolling schedules)

以等功率裕量、轧制能耗、带钢打滑概率为优化

目标建立轧制规程的多目标优化模型如下:

$$\begin{cases} \min Z = (z_1, z_2, z_3), \\ z_1 = f_1(x), z_2 = f_2(x), z_3 = f_3(x), \\ \text{s.t. } g_i(x) \leq 0, i = 1, 2, \dots, m, \end{cases} \quad (5)$$

其中: Z 为向量函数, x 为轧制规程的染色体编码, $g_i(x)$ 为第*i*个约束条件.

应用改进的权重自适应GA对式(5)进行求解, 得出Pareto最优妥协解, 进而达到对轧制规程多目标优化的目的(具体做法见4.5).

3 改进的权重自适应方法(Improved adaptive weight approach)

3.1 权重自适应方法(Adaptive weight approach)

Gen 和 Cheng 提出适应性权重方法(adaptive weight approach)^[10], 该方法利用当前种群中的有用信息来重新调整权重, 获得朝向理想点的搜索压力. 式(5)中3个目标的适应性权重定义如下:

$$w_i = \frac{1}{z_i^{\max} - z_i^{\min}}. \quad (6)$$

其中 z_i^{\max}, z_i^{\min} 分别是当前种群中第*i*个目标的最大值和最小值. 此时相应的评价函数如下:

$$z(x) = w_1 \cdot (z_1^{\max} - z_1) + w_2 \cdot (z_2^{\max} - z_2) + w_3 \cdot (z_3^{\max} - z_3). \quad (7)$$

极限点每代更新, 权重和极限点确定的超平面也随之更新, 最小极限点最终将接近理想点.

适应性权重方法与传统方法相比, 克服了固定权重的人为因素,但在轧制规程多目标优化的应用中还存在如下不足:

1) 当一代中某个目标的最大值等于最小值的时候算法会出错.

2) 针对不同规格带钢制定轧制规程时的侧重点不同,需要加入新的权重值影响因子,使优化的结果更好的达到预期的目标.

3.2 改进的权重自适应方法(Improved adaptive weight approach)

基于以上的分析, 本文提出一种改进的权重自适应方法(improved adaptive weight approach, 简称为IAWA), 其思想是: 在原有的权重自适应方法的权重因子中加入新的权重因子 w_{new} , 使所有目标中最重要的先达到要求, 然后满足次重要的目标, 以此类推. 以3目标的优化问题为例, 设目标重要程度的顺序为: 目标1大于目标2大于目标3, w_{new} 的作用为: 当目标1没有达到要求时, 使目标2,3的权重远小

于目标1, 当目标1达到要求, 使目标2的权重最大, 当目标1,2都达到要求时, 使目标3的权重最大. 下面给出 w_{new} 的计算方法:

将各目标函数按下式^[11]标准化:

$$\bar{f}_i = \frac{2}{1 + e^{10(1+q)(1-f_i^n)}}, f_i^n = \frac{f_{\text{target}_i}}{f_i}. \quad (8)$$

其中: \bar{f}_i 为标准化后的目标函数*i*的值; f_{target_i} 为目标函数*i*的优化目标值; f_i 为目标函数*i*的值; q 为常数, 当 q 取不同的值时 \bar{f}_i 的形状如图1所示.

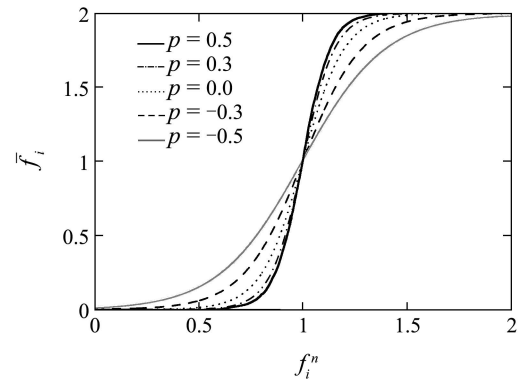


图1 q 取不同的值时 \bar{f}_i 的形状

Fig. 1 Shape of \bar{f}_i when q is of different values

从图1中可以看出 \bar{f}_i 的值在[0,2]内. 当 $f_i > f_{\text{target}_i}$ 时, $f_i^n < 1$, $\bar{f}_i < 1$; 当 $f_i < f_{\text{target}_i}$ 时, $f_i^n > 1$, $\bar{f}_i > 1$. 如优化之前, 优化目标值已知, 可以将 f_{target_i} 的值设为相应的优化目标值; 若未知则用单目标优化方法以目标*i*为优化目标, 找到其最优化 f_{opt_i} , 令 $f_{\text{target}_i} = \alpha \cdot f_{\text{opt}_i}$ (对于最小化问题 α 一般取1.1~1.3, 对于最大化问题 α 一般取0.7~0.9).

第*i*个目标的新的权重影响因子定义为下式:

$$w_{\text{new}_i} = \prod_{i=1}^k \bar{f}_i (\text{目标1} \sim k \text{的重要程度大于} i). \quad (9)$$

加入新的权重影响因子后*N*个目标的多目标优化问题的评价函数计算如下:

$$z_{ip}(x) = \sum_{i=1}^N w_{\text{new}_i} \cdot w_{ip} \cdot (z_i^{\max} - z_i + \zeta). \quad (10)$$

式中: $w_{ip} = \frac{1}{z_i^{\max} - z_i^{\min} + \zeta}$, ζ 为小常数, 可避免某代中某目标的最大值等于最小值时IAWA出错.

结合图1、式(9)(10)可以看出, 当存在比目标*i*重要的目标没有达到优化目标值时, 目标*i*就会被乘以小于1的因子 w_{new_i} , 减小了目标*i*的权重; 当所有比目标*i*重要的目标都达到优化目标值时, w_{new} 的值大于1, 增加了目标*i*的权重. 这样就很好的实现了IAWA的思想.

4 基于改进权重自适应GA的冷连轧轧制规程多目标优化(Improved adaptive weight approach GA based rolling schedules multi-objective optimization of tandem cold rolling)

4.1 编码及遗传算子(Coding and genetic operator)

采用实数编码,令

$$x = [r_1, r_2, r_3, r_4, r_5, A_1, A_2, A_3, A_4].$$

本文采用的遗传算子包括交叉算子和变异算子。根据文献[12]对实数编码的多目标优化算法的研究成果,采用模拟二进制交叉算子(simulated binary crossover)和多项式变异算子(polynomial mutation)。

4.2 确定三个目标的重要性顺序(Determining importance sequence of the three objectives)

目前大多数冷轧厂的轧制规程是以等功率裕量为检验依据的,所以对于轧制负荷大的宽厚料,要尽量使功率裕量平衡,然后使总的轧制能耗尽量小;而对于薄窄料(出口厚度小于0.8 mm,宽度小于1200 mm),其主要矛盾是轧制过程中容易产生打滑的现象^[9]。因此当轧制出口厚度小于0.8 mm,宽度小于1200 mm的带钢时,3个目标(目标1为式(2)、目标2为式(3)、目标3为式(4))的重要性顺序为:目标3>目标1>目标2;当轧制其他规格的带钢时,3个目标的重要性顺序为:目标1>目标2>目标3。

4.3 罚函数(Penalty function)

对于超越限制的染色体,不能完全拒绝,因为像轧制规程优化这种不连续的复杂搜索区间,往往会出现定义域范围外的染色体离最优点更近的情况。对在解空间中无对应可行解的个体,计算其评价函数时,乘以一个罚函数,从而既保存了不可行解的有用信息,又对不可行解施加了选择压力。种群中个体 x 的适应性罚函数构造如下^[13]:

$$\begin{cases} p(x) = 1 - \frac{1}{m} \sum_{i=1}^m \left[\frac{\Delta b_i(x)}{\Delta b_i^{\max}} \right]^a, \\ \Delta b_i(x) = \max\{0, g_i(x) - b_i\}, \\ \Delta b_i^{\max} = \max\{\varepsilon, \Delta b_i(x) | x \in \text{pop}\}. \end{cases} \quad (11)$$

其中: $\Delta b_i(x)$ 为当前染色体对第*i*个约束的违背值, Δb_i^{\max} 为当前种群中对约束*i*的最大违背值, ε 为小正数,用来避免罚函数中出现被零除的情况; pop为当前种群。

4.4 评价函数(Evaluation function)

评价函数是GA对种群中的不同个体进行比较的依据,基于改进权重自适应GA(IAWA GA)轧制规程的多目标优化模型(式(5))的评价函数为

1) 薄窄带钢:

$$z_{ip}(x) = p(x) \cdot [\bar{f}_3 \cdot w_{ip_1} \cdot (z_1^{\max} - z_1 + \zeta) + \bar{f}_1 \cdot \bar{f}_3 \cdot w_{ip_2} \cdot (z_2^{\max} - z_2 + \zeta) + w_{ip_3} \cdot (z_3^{\max} - z_3 + \zeta)]. \quad (12)$$

2) 宽厚带钢:

$$z_{ip}(x) = p(x) \cdot [w_{ip_1} \cdot (z_1^{\max} - z_1 + \zeta) + \bar{f}_1 \cdot w_{ip_2} \cdot (z_2^{\max} - z_2 + \zeta) + \bar{f}_1 \cdot \bar{f}_2 \cdot w_{ip_3} \cdot (z_3^{\max} - z_3 + \zeta)]. \quad (13)$$

由式(12)(13)看出 z_i 的值越小,评价函数的值越大,即评价函数值高的个体优于评价函数值低的个体,其进入下一代种群的机率越大。

4.5 基于IAWA GA的轧制规程多目标优化(IAWA GA based multi-objective optimization of the rolling schedules)

基于IAWA GA的冷连轧轧制规程多目标优化过程如下:

Step 1 随机产生 N 个个体,即随机产生 N 种轧制规程;

Step 2 由式(2)(3)(4)计算出每个个体对应的3个目标函数值,采用改进的权重自适应方法根据当代种群的信息,与目标的重要性顺序,计算出每个目标函数的权重值,由式(11)得出惩罚值,并由式(12)或(13)计算出每个个体对应评价函数值。

Step 3 根据评价函数值,用联赛选择法选出 $N/2$ 个父代个体。即随机选取两个个体,选择评价函数值大的个体作为父代个体,重复这个过程,直到父代个体的数量达到 $N/2$ 。

Step 4 对父代个体按一定的概率做SBX交叉、多项式变异,产生子代个体。

Step 5 将父代与子代结合,根据评价函数值由高到低的顺序选出 N 个个体,作为下一代的种群。

Step 6 判断算法是否达到最大遗传代数,是则终止算法,否则返回**Step 2**。

每进化一代,父代与子代中评价函数值低的个体将会被淘汰,评价函数值高的前 N 个个体进入下一代,随着进化代数的增加,IAWA GA将收敛于式(5)的一个Pareto最优妥协解。IAWA GA取最后一代种群中评价函数值最高的个体作为最终的解,它也是所有代的所有个体中评价函数值最高的个体。

5 优化参数以及结果(Optimization parameters and results)

以某冷轧厂5机架冷连轧机为例,利用本文提出的IAWA GA进行轧制规程多目标优化。表1所示为

实际的轧机参数.

表1 冷连轧机参数

Table 1 Parameters of the tandem cold mills

机组参数	机架号				
	1	2	3	4	5
最大轧制力/t	2000	2000	2000	1000	1000
最大转速/(m·min ⁻¹)	542	861	1190	1250	1250
额定功率/kW	4000	5750	5750	5750	5750
工作辊半径/mm	221.2	226.9	221.4	235.7	237.2

分别以薄厚两种规格的带钢为对象, 进行轧制规程多目标优化. 其中规格1的薄窄带钢来料尺寸为2.6 mm×900 mm的CQ钢, 成品尺寸为0.5 mm×900 mm; 规格2的厚带钢来料尺寸为3.7 mm×1720 mm的DQ钢, 成品尺寸为1.0 mm×1720 mm. 设定种群数为50, 运行代数为200代, 根据文献[13]对多目标优化算法参数的研究成果, 交叉的概率定为0.9, 变异的概率定为0.1, 做SBX交叉(simulated binary crossover)和多项式变异(polynomial mutation)的分布指数 η_c 和 η_m 都取为20^[14], 计算 f_{target_i} 时 α 取为1.115. 在进化过程中, 记录每一代种群中评价函数最大个体所对应的3个目标函数的值 f_1^* , f_2^* , f_3^* , IAWA GA的优化结果用实线表示, 权重自适应GA(AWA GA)的优化结果用虚线表示. 规格1带钢优化过程中, f_1^* , f_2^* , f_3^* 的进化过程如图2所示.

对比图2(a)(b)(c)中的实线部分, 前5代重要性最高的 f_3^* 的值迅速变小, 重要性第二的 f_1^* 在 $f_3^* < f_{\text{target}_3}$ 后权重变为最大, 值开始迅速变小, 而 f_2^* 为了实现 $f_3^* < f_{\text{target}_3}$ 且 $f_2^* < f_{\text{target}_2}$ (条件1), 其值与第一代相比开始上升, 到34代, 条件1被满足了, f_2^* 开始小幅下降. 结果证明了IAWA GA实现了重要的先达到要求, 然后满足次重要目标这一思想. IAWA GA的最终优化结果为

$$F^* = [f_1^*, f_2^*, f_3^*] = [0.02473, 17444, 0.28862],$$

对应的

$$\begin{aligned} x = & [37.754, 18.832, 19.134, 12.099, 0.00504, \\ & 1.4989, 0.80901, 0.89786, 0.62098], \end{aligned}$$

经检验为可行解. 相应的轧制规程为来料厚度2.6 mm, 各架出口厚度分别为: 1架1.1259 mm, 2架0.8242 mm, 3架0.5994 mm, 4架0.5026 mm, 5架0.5 mm. 实际应用的轧制规程用式(2)(3)(4)计算出的3个目标函数值为: $f_1 = 0.77328$, $f_2 = 18262$, $f_3 = 4.3706$. 可见与原来的轧制规程相比, 反映打

滑发生概率的 f_3 的值明显变小了, 同时降低了 f_2 , f_1 的值, 使总的轧制能耗更小, 每个机架的功率裕量更加均衡.

对比图2(a)(b)(c)的实线与虚线部分, 令 $F_o^* = [f_{o1}^*, f_{o2}^*, f_{o3}^*]$ 表示AWA GA的优化结果, 可见 $f_{o1}^* > f_1^*$, $f_{o2}^* < f_2^*$, $f_{o3}^* > f_3^*$, 显然 F^* 更符合薄窄带钢轧制过程中容易产生打滑这一主要矛盾的要求; 同时IAWA GA比AWA GA的收敛速度快.

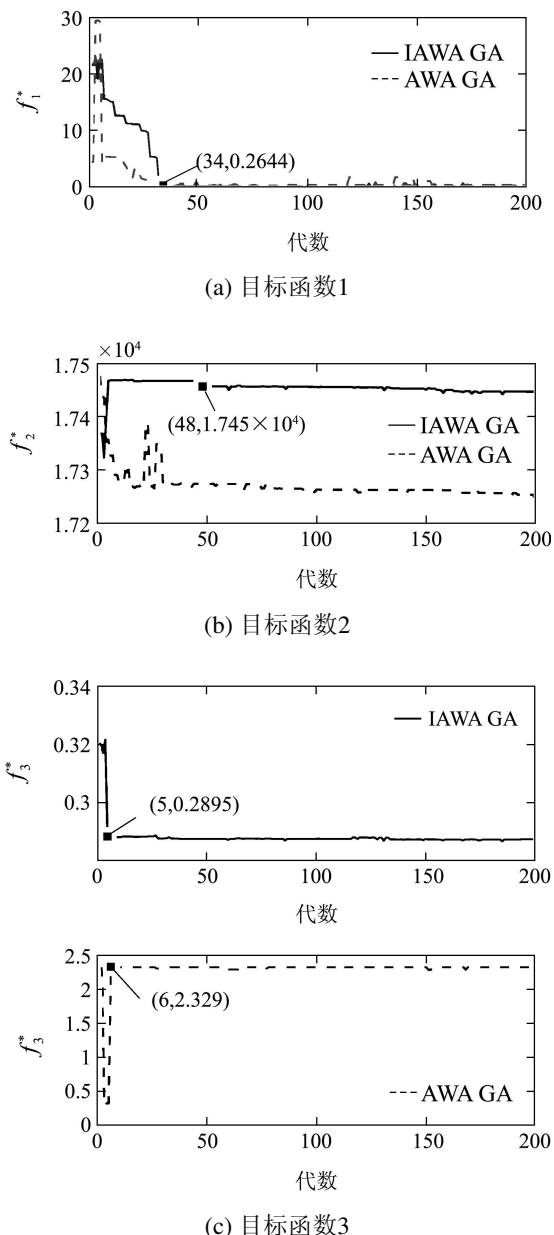


图2 规格1带钢的3个目标函数优化过程

Fig. 2 Optimization procedure of three objective functions of the first specification strip

规格2带钢优化过程中 f_1^* , f_2^* , f_3^* 的进化过程如图3所示.

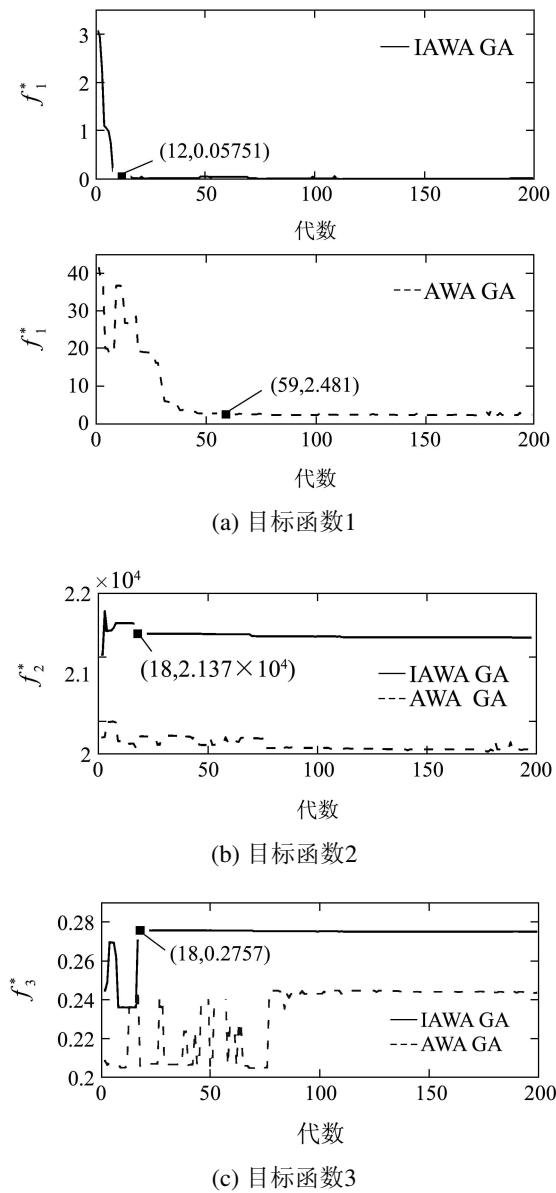


图3 规格2带钢的3个目标函数优化过程

Fig. 3 Optimization procedure of three objective functions of the second specification strip

对比图3中的实线部分,前12代重要性最高的 f_1^* 的值迅速变小,重要性第二的 f_2^* 在 $f_1^* < f_{target_1}$ 后权重变为最大,值开始变小,而 f_3^* 为了实现 $f_1^* < f_{target_1}$ 且 $f_2^* < f_{target_2}$ (条件2),其值与初始值相比开始上升,到18代,条件2被满足了, f_3^* 停止上升。结果证明了IAWA GA实现了重要的先达到要求,然后满足次重要目标这一思想。IAWA GA的优化结果

$$F^* = [f_1^*, f_2^*, f_3^*] = [0.02115, 21308, 0.27503],$$

对应的

$$\begin{aligned} x = & [36.594, 29.875, 20.435, 20.581, 0.03, \\ & 1.2248, 1.3371, 1.0331, 1.0762], \end{aligned}$$

经检验为可行解。相应的轧制规程为来料厚度3.7 mm,各架出口厚度分别为:1架2.333 mm,2架1.6313 mm,3架1.2981 mm,4架1.0310 mm,5架1 mm。实际应用的轧制规程对应的3个目标函数值为: $f_1 = 0.15903$, $f_2 = 23473$, $f_3 = 0.28325$ 。可见与原来的轧制规程相比 f_1 的值明显变小了,同时降低了 f_2 , f_3 的值。

对比图3中的实线部分与虚线部分,可见 $f_{o1}^* > f_1^*$, $f_{o2}^* < f_2^*$, $f_{o3}^* < f_3^*$,虽然 $f_{o2}^* < f_2^*$ 并且 $f_{o3}^* < f_3^*$,但 f_{o1}^* 最终收敛到2.481,比实际应用的轧制规程计算出的 $f_1 = 0.15903$ 还要大很多。显然 F^* 更符合厚带钢轧制过程以等功率裕量为主要目标的要求;同时图3显示IAWA GA比AWA GA的收敛速度快。

6 结论(Conclusions)

本文提出一种改进的权重自适应方法,并以遗传算法为基础对冷连轧轧制规程进行了多目标优化。结合某冷轧厂实际的轧制规程优化过程,选取等功率裕量、轧制能耗及带钢打滑概率作为优化目标,建立了冷连轧轧制规程的多目标优化模型。将改进的权重自适应GA应用于不同规格带钢的轧制规程多目标优化,结果表明,经IAWA GA优化的轧制规程与实际应用的轧制规程相比,有效的降低了 f_1 , f_2 , f_3 的值;与权重自适应GA的优化结果相比,IAWA GA得出的优化结果的针对性更强,可以满足不同规格带钢的轧制规程多目标优化的要求,同时从仿真结果可以看出IAWA GA使重要性高的目标收敛速度更快。

参考文献(References):

- [1] YANG J M, CHE H J, XU Y J, et al. Application of Adaptable Neural Networks for Rolling Force Set-Up in Optimization of Rolling Schedules[M]. Berlin Heidelberg LNCS: Springer-Verlag, 2006: 864–869.
- [2] 陈东宁,姜万录,王益群.基于粒子群算法的冷连轧机轧制负荷分配优化[J].中国机械工程,2007,18(11): 1303–1306.
(CHEN Dongning, JIANG Wanlu, WANG Yiqun. Load distribution optimization of tandem cold mill based on PSO algorithm[J]. China Mechanical Engineering, 2007, 18(11): 1303 – 1306.)
- [3] 王焱,刘景录,孙一康.冷连轧机组负荷分配智能优化新方法[J].北京科技大学学报,2002,24(5): 551–552, 555.
(WANG Yan, LIU Jinlu, SUN Yikang. A new intelligent optimization method for the scheduling of cold continuous rolling mills[J]. Journal of University of Science and Technology Beijing, 2002, 24(5): 551 – 552, 555.)
- [4] 杨景明,窦富萍,刘舒慧,等.基于遗传算法的冷轧轧制规程优化设计[J].中国机械工程,2007,18(15): 1868–1871.
(YANG Jingming, DOU Fuping, LIU Shuhui, et al. Application of

- genetic algorithm to rolling schedule in tandem cold mill[J]. *China Mechanical Engineering*, 2007, 18(15): 1868 – 1871.)
- [5] 李维明, 穆志纯. 基于案例推理的冷轧负荷分配模型研究[J]. 系统仿真学报, 2006, 18(8): 2162 – 2165.
(LI Weiming, MU Zhichun. Case-based reasoning model for cold rolling schedule[J]. *Journal of System Simulation*, 2006, 18(8): 2162 – 2165.)
- [6] WANG D D, TIEU A K, DE BOER F G, et al. Toward a heuristic optimum design of rolling schedules for tandem cold rolling mills[J]. *Engineering Applications of Artificial Intelligence*, 2000, 13: 397 – 406.
- [7] PIRES C T A, FERREIRA H C, SALES R M, et al. Set-up optimization for tandem cold mills: a case study[J]. *Journal of Materials Processing Technology*, 2006, 173(3): 368 – 375.
- [8] 刘士新, 宋健海, 周山长. 热轧带钢轧制批量计划优化模型及算法[J]. 控制理论与应用, 2007, 24(2): 243 – 248.
(LIU Shixin, SONG Jianhai, ZHOU Shanchang. Model and algorithm for solving hot strip rolling batch planning problems[J]. *Control Theory & Applications*, 2007, 24(2): 243 – 248.)
- [9] 白振华, 连家创, 王骏飞. 冷连轧机以预防打滑为目标的压下规程优化研究[J]. 钢铁, 2003, 38(10): 35 – 38.
(BAI Zhenhua, LIAN Jiachuang, WANG Junfei. Screw-down schedule optimization for preventing slippage on cold tandem mill[J]. *Iron and Steel*, 2003, 38(10): 35 – 38.)
- [10] CHENG R, GEN M. *An adaptive superplane approach for multiple object optimization problems*, Technical report[R]. Ashikaga City, Tochigi, Japan: Ashikaga Institute of Technology, 1998.
- [11] SOMANI A, CHAKRABARTI P P, PATRA A. An evolutionary algorithm-based approach to automated design of analog and RF circuits using adaptive normalized cost functions[J]. *IEEE Transactions on Evolutionary Computation*, 2007, 11(3): 336 – 353.
- [12] DEB K, THIELE L, LAUMANNS M, et al. Scalable multi-objective optimization test problems[C] //Proceedings of the Congress on Evolutionary Computation(CEC2002). NJ: Piscataway, 2002, 1: 825 – 830.
- [13] 玄光男, 程润伟. 遗传算法与工程优化[M]. 北京: 清华大学出版社, 2004.
(XUAN Guangnan, CHEN Runwei. *Genetic Algorithms and Engineering Optimization*[M]. Beijing: Tsinghua University Press, 2004.)
- [14] PURSHOUSE R C, FLEMING P J. On the evolutionary optimization of many conflicting objectives[J]. *IEEE Transactions on Evolutionary Computation*, 2007, 11(6): 770 – 784.

作者简介:

李 勇 (1980—), 男, 博士研究生, 主要从事多目标优化算法、轧制流程优化与控制的研究, E-mail: liyong.neu@gmail.com;

刘建昌 (1960—), 男, 教授, 博士生导师, 主要从事智能控制理论与应用、复杂过程控制与优化的研究, E-mail: liujianchang@ise.neu.edu.cn;

王 昱 (1980—), 女, 助教, 硕士, 主要从事复杂工业过程控制与优化的研究, E-mail: wangyu.siae@gmail.com.